

M. Ю. Ревтович, A. I. Шмак, P. M. Смолякова

ВОЗМОЖНОСТИ ИСПОЛЬЗОВАНИЯ ЗНАЧЕНИЙ ЭКСПРЕССИИ ЦИКЛООКСИГЕНАЗЫ-2 И СУРВИВИНА ДЛЯ ПРОГНОЗИРОВАНИЯ ПРОГРЕССИРОВАНИЯ ЗАБОЛЕВАНИЯ ПОСЛЕ РАДИКАЛЬНОГО ХИРУРГИЧЕСКОГО ЛЕЧЕНИЯ РАКА ЖЕЛУДКА

Республиканский научно-практический центр онкологии и медицинской радиологии им. Н. Н. Александрова, Минск, Республика Беларусь

Исследован уровень экспрессии генов циклооксигеназы-2 (COX-2) и сурвивина (BIRC5) в первичной опухоли и париетальной брюшине различных отделов брюшной полости у 52 радикально оперированных пациентов, страдающих раком желудка. Определено пороговое значение уровня экспрессии гена COX-2, позволяющее прогнозировать прогрессирование заболевания с формированием диссеминации опухоли по брюшине после радикального хирургического лечения.

Ключевые слова: рак желудка, циклооксигеназа-2, сурвивин, перитонеальная диссеминация.

M. Yu. Reutovich, A. I. Shmak, R. M. Smolyakova

THE POSSIBILITY OF USING CYCLOOXYGENASE-2 AND SURVIVIN FOR PROGNOSTICATION OF DISEASE PROGRESSION AFTER RADICAL SURGICAL TREATMENT OF GASTRIC CANCER

It is investigated the expression's levels of cyclooxygenase-2 gene (COX-2) and Survivin (BIRC5) gene in the primary tumor and parietal peritoneum of 52 radically operated gastric cancer patients. It is defined the prognostic cutoff value of COX-2 allowing to predict the disease progression with peritoneal dissemination after radical surgery.

Key words: gastric cancer, cyclooxygenase-2, survivin, peritoneal dissemination.

Высокая частота прогрессирования рака желудка (РЖ) после радикальной операции в сочетании с адьювантной химио- и химиолучевой терапией, свидетельствует о недостаточной эффективности подобного комплексного подхода при интуитивном определении показаний к назначению адьювантного лечения без учета молекулярно-генетических особенностей опухоли.

Согласно литературным данным одними из потенциальных прогностических молекулярно-биологических маркеров «агgressивности» течения заболевания у пациентов с резектабельным раком желудка являются циклооксигеназа-2 (cyclooxygenase-2, COX-2) и сурвивин (в англоязычной литературе baculoviral inhibitor of apoptosis repeat-containing — BIRC5). Биологическими эффектами их являются: COX-2 — усиление ангиогенеза и роста опухоли, одновременно с подавлением апоптоза [6]; BIRC5 — белок-

ингибитор апоптоза, экспрессия которого в злокачественных опухолях ассоциируется с неблагоприятным прогнозом заболевания [10].

Цель настоящего исследования — определить прогностическую значимость экспрессии генов COX-2 и BIRC5 в биоптатах различных локализаций для развития прогрессирования заболевания, включая перитонеальную диссеминацию, после радикального хирургического лечения рака желудка.

Материалы и методы. Материалом для исследования явились образцы первичной опухоли (аденокарциномы желудка) и париетальной брюшины обеих куполов диафрагмы, боковых каналов, гипогастральной области и малого таза 52 радикально оперированных пациентов в возрасте от 20 до 70 лет, страдающих раком желудка IIA-IIIC стадий (таблица 1).

Таблица 1. Характеристика пациентов, включенных в исследование

Степень распространения опухолевого процесса / Медиана наблюдений до события	Все пациенты	Характер течения заболевания		
		Прогрессирование заболевания, n (%)	Прогрессирование заболевания с формированием диссеминации n (%)	Из них умерли от прогрессирования опухолевого процесса n (%)
pTNM, n (%)				
pT4a-bN2-3M0	22	14(63,6)	9 (40,9)	7(31,8)
pT4a-bN1M0	6	1 (16,7)	1 (16,7)	1 (16,7)
pT4a-bN0M0	8	1 (12,5)	1 (12,5)	1 (12,5)
pT1-3N0-3M0	16	4 (25,0)	2 (12,5)	3 (18,8)
Всего, n (%)	52	20 (38,5)	13 (25)	12 (23,1)
Медиана наблюдений до события*, дни		198	174	269
Медиана наблюдений**, дни		689	690	703

Причина: * — медиана наблюдений для пациентов с зарегистрированным прогрессированием заболевания;
** — медиана наблюдений для пациентов со стабилизацией процесса.

Молекулярно-генетическое исследование экспрессии исследуемых генов проводилось методом полимеразной цепной реакции в режиме «реального времени» на амплификаторе «iQ5» (Bio-Rad, США) с использованием реагентов Maxima Hot Start Taq DNA Polymerase (Fermentas, Литва) согласно инструкции производителя. В работе использованы специфические олигонуклеотидные праймеры и флуоресцентно-меченные (FAM-BHQ1) TaqMan зонды компании-производителя ОДО «Праймтех» (Республика Беларусь) для COX-2: прямой праймер — GAATCATTCAACCAGG-CAAATTG; обратный праймер — TTTCGTTACTGCAGGGTGGAAC; TaqMan зонд — FAM-TTCCTTACCCACAGCAACCCCTGCCA-BHQ1 [8]; для BIRC5: прямой праймер — CCACTGCCCACTGAGAAC; обратный праймер — GGCTCCCAGCCTTCCAG; TaqMan зонд — FAM-CAGACTTGGCCCAGTGTCTTGCT-BHQ1 [5]. В качестве референсного гена применяли SCARNA5 [3]. Для нормализации пользовались усредненным значением dCp (кроссинг поинт) образцов ткани желудка без признаков морфологического изменения. Для получения значений dCp применяли метод максимума второй производной кривых флуоресценции образцов [11].

Количественные показатели экспрессии исследуемых генов подчинялись закону нормального распределения (критерий Шапиро-Уилка, $p > 0,05$) и представлены средним и стандартным отклонением (SD). Частотные характеристики выборки представлены количественными и процентными величинами. Анализ влияния уровней экспрессии генов COX-2 и BIRC5 в биоптатах различных локализаций и степени распространенности опухолевого процесса (pT и pN) на характер прогрессирования заболевания проводился с помощью лог-ранк критерия. Расчет уровня экспрессии COX-2 и BIRC5 в биоптатах, ассоциированного с неблагоприятным исходом, выполнялся на основе алгоритма максимального ранга и статистики [4]. Многофакторный анализ риска развития перитонеальной диссеминации проводился также на основе регрессии пропорциональных рисков Кокса [12], в который включались показатель экспрессии генов COX-2 и BIRC5 наряду с категориями pT и pN, описывающими степень распространенности опухолевого процесса. Отношения рисков (OP) рассчитывались как экспоненциальное преобразование соответствующих коэффициентов регрессии. Доверительные интервалы для OP рассчитывались также как экспо-

ненциальное преобразование соответствующих доверительных интервалов коэффициентов регрессии.

Все расчеты проводились в статистическом пакете R, версия 3.1.3 с использованием пакетов *survival* [2] и *maxstat* [9]. Результаты анализа считались статистически значимыми при $p < 0,05$.

Результаты и обсуждение. Результаты оценки возможностей использования для прогнозирования течения заболевания категорий классификации pTNM (в частности, pT и pN) продемонстрировали недостаточную их прогностическую значимость. Было отмечено отсутствие различий в кумулятивной выживаемости, свободной от прогрессирования (ВСП), и выживаемости, свободной от диссеминации (ВСД), при сравнении пациентов по критерию pT (pT1-3 против pT4a-b) — $p_{\log\text{-rank}} = 0,113$ (ВСП) и $p_{\log\text{-rank}} = 0,170$ (ВСД). Увеличение метастатического поражения регионарного лимфоколлектора (pN2-3 против pN0-1) привело к ухудшению кумулятивной выживаемости (для ВСП — $p_{\log\text{-rank}} = 0,002$, для ВСД — $p_{\log\text{-rank}} = 0,042$), что обусловлено как более интенсивным поступлением опухолевых клеток в свободную брюшную полость в процессе выполнения лимфодиссекции, так и более интенсивной лимфогематогенной диссеминацией у пациентов с pN2-3. Однако даже при распространенном опухолевом процессе pT4a-bN2-3M0 у 36,4% пациентов радикального хирургического лечения оказалось достаточно для стабилизации опухолевого процесса в отсутствие адьювантной химиотерапии. В то же время у 12,5% пациентов с отсутствием инвазии опухолью серозной оболочки было отмечено прогрессирование заболевания с диссеминацией опухоли по брюшине, несмотря на то, что это не характерно для данной распространенности опухолевого процесса. Всё вышеперечисленное в совокупности свидетельствует о невозможности прогнозирования прогрессирования заболевания, ориентируясь только лишь на классификацию pTNM. В этой связи нами оценена возможность использования значений экспрессии генов COX-2 и BIRC5 в биоптатах различных локализаций для определения неблагоприятного уровня их экспрессии, составляющего «агрессивный» тип adenокарциномы, склонный к раннему системному прогрессированию заболевания.

Значения экспрессии рассматриваемых генов значительно различались в исследованных биоптатах (табл. 2).

Таблица 2. Экспрессия генов COX-2 и BIRC5 у пациентов с резектабельным раком желудка в биоптатах различных локализаций

Анализируемый биоптат, п	Значения экспрессии генов, отн.ед., среднее (SD), количество пациентов	
	COX-2, п	BIRC5, п
Первичная опухоль	3,3 (2,8), n = 40	0,2 (2,0), n = 45
Париетальная брюшина диафрагмы и боковых каналов	1,5 (4,2), n = 30	-0,1 (1,3), n = 37
Париетальная брюшина малого таза	2,8 (3,9), n = 24	0 (1,7), n = 32

При оценке влияния уровней экспрессии генов COX-2 и BIRC5 в указанных в табл. 2 биоптатах на развитие прогрессирования заболевания (вне зависимости от его варианта) по результатам однофакторного анализа какой-либо зависимости не установлено. При оценке влияния экспрессии генов COX-2 и BIRC5 в тех же биоптатах на формирование канцероматоза брюшины установлено, что высокие значения экспрессии COX-2 в биоптатах париетальной брюшины диафрагмы и боковых каналов увеличивали

риск прогрессирования заболевания с формированием перитонеальной диссеминации (табл. 3).

Превышение порогового уровня экспрессии COX-2 сопровождалось ухудшением показателей ВСД (рисунок 1).

В противоположность данным, полученным по COX-2, взаимосвязь между значениями экспрессии гена BIRC5 и развитием диссеминированного поражения брюшины нами не установлена.

Таблица 3. Пороговый уровень экспрессии COX-2 и BIRC5 в биоптатах различной локализации для оценки риска перитонеальной диссеминации после радикального хирургического лечения рака желудка по результатам однофакторного анализа

Анализируемый биоптат	Количество наблюдений/количество событий	Результаты однофакторного анализа		
		Пороговый уровень экспрессии гена, отн.ед.	p	OP (95%ДИ)
COX-2				
Первичная опухоль	40/10	—	0,722	—
Париетальная брюшина диафрагмы и боковых каналов	30/7	≤−1	0,021	12,1 (1,45–101)
Париетальная брюшина малого таза	24/5	—	0,739	—
BIRC5				
Первичная опухоль	45/12	—	0,492	—
Париетальная брюшина диафрагмы и боковых каналов	37/9	—	0,467	—
Париетальная брюшина малого таза	32/7	—	0,675	—

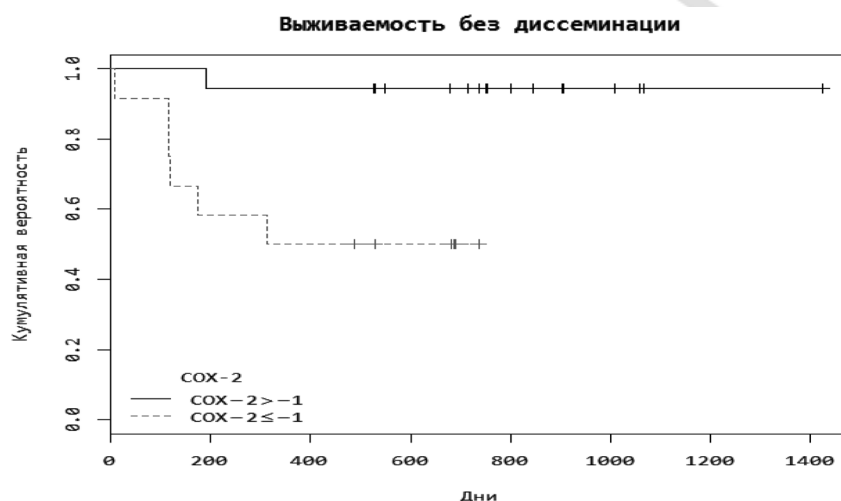


Рис. 1. Кумулятивная выживаемость, свободная от диссеминации, у пациентов с резектабельным раком желудка при различной экспрессии гена COX-2 в париетальной брюшине диафрагмы и боковых каналов ($p_{log-rank} = 0,021$)

Для выявления предикторов перитонеальной диссеминации проведен многофакторный анализ, по результатам которого установлено, что риск развития канцероматоза после радикального хирургического лечения РЖ

в 12,1 раза выше у пациентов с уровнем экспрессии гена COX-2 в париетальной брюшине, превышающем установленное в данном исследовании пороговое значение −1 отн.ед (табл. 4).

Таблица 4. Многофакторный анализ зависимости прогрессирования заболевания с развитием перитонеальной диссеминации от уровня экспрессии гена COX-2 и степени распространенности опухолевого процесса

Показатели, ассоциированные с неблагоприятным исходом	Результаты регрессионного анализа		
	β	p	OP (95%ДИ)
Пороговый уровень экспрессии COX-2 в париетальной брюшине диафрагмы и боковых каналов	2,4	0,016	21,1 (1,8–252)
pT4 vs pT1-3	−0,9	0,503	—
pN2-3 vs pN0-1	1,3	0,151	—

Включение в многофакторный анализ категорий pT и pN не выявило их прогностического значения для прогнозирования того или иного варианта прогрессирования, включая диссеминацию опухоли по брюшине (табл.4).

Очевидно, наличие экспрессии гена COX-2 в париетальной брюшине обусловлено наличием там, изолированных опухолевых клеток или микрометастазов, поскольку согласно литературным данным экспрессия гена изоформы энзима циклооксигеназы COX-2 отсутствует в нормальных тканях и имеет место в различных типах опухолей, включая рак желудка [7]. Возможно, высокие уровни экспрессии, превышающие пороговое значение, определенное в настоящем исследовании могут свидетельствовать

о наличии в париетальной брюшине именно микрометастазов, как морфологического субстрата для формирования канцероматоза. Представленные нами данные представляют интерес потому, что в исследование включались только пациенты без макроскопических признаков перитонеальной диссеминации, тем не менее, высокие уровни экспрессии COX-2 и последующее прогрессирование с формированием диссеминации имело место как у пациентов с инвазией опухолью серозной оболочки (pT4a-b), так и без таковой (pT1-3). Среди возможных причин развития канцероматоза у пациентов с отсутствием распространения опухоли на серозную оболочку (pT1-3) называются: 1) распространение опухолевых клеток из пересеченных

лимфатических сосудов и лимфоузлов в процессе выполнения лимфодиссекции; 2) лимфогематогенное распространение опухолевых клеток из первичной опухоли [1]. Результаты нашего исследования свидетельствуют о целесообразности выполнения биопсии париетальной брюшины диафрагмы и/или боковых каналов с последующим определением уровня экспрессии COX-2 для выявления пациентов, имеющих высокий риск прогрессирования с формированием диссеминации после радикального хирургического лечения РЖ с целью дифференцированного подхода при определении показаний для профилактики данного варианта прогрессирования заболевания.

Вывод. Определение экспрессии COX-2 в париетальной брюшине диафрагмы и боковых каналов у радикально оперированных пациентов РЖ позволит: 1) выявить пациентов, имеющих высокий риск прогрессирования с формированием канцероматоза; 2) дифференцированно подходить к назначению адьювантной интраперитонеальной химиотерапии, опираясь не только на стадию заболевания по системе pTNM; 3) расширить показания к назначению интраперитонеальной химиотерапии за счет категории пациентов с отсутствием инвазии опухолью серозной оболочки желудка (pT1-3), традиционно считающихся менее угрожающими в плане развития данного варианта прогрессирования заболевания.

Литература

1. Ганцев Ш. Х. Перitoneальный канцероматоз – новый взгляд на проблему // [Электронный ресурс]. – Креативн. онкол. и хир., 2013, № 4. – Режим доступа: <http://eoncosurg.com/prezentsiiperitoneal-ny-j-kantserom>. – Дата доступа: 7.02.2014.

2. Andersen, P. Cox's regression model for counting processes, a large sample study / P. Andersen, R. Gill // Annals of Statistics. – 1982. – Vol. 10. – P. 1100–1120.

3. Application of housekeeping npcRNAs for quantitative expression analysis of human transcriptome by real-time PCR / Ch.R. Galiveti [et al.] // RNA. – 2010. – Vol. 16, № 2. – P. 450–461.

4. Assessment of optimally selected prognostic factors / B. Lausen [et al.] // Biometrical Journal. – 2004. – Vol. 46, № 3. – P. 364–374.

5. DNA methylation inhibits p53-mediated survivin repression / N. H. Nabils, R. R. Broaddus, D. S. Loose // Oncogene. – 2009. – Vol. 28. – P. 2046–2050.

6. Expression of cyclooxygenase-2 in ovarian serous carcinoma: correlation with angiogenesis, nm23 expression and survival / S. Ozusayal [et al.] // Eur. J. Gynaecol. Oncol. – 2009. – Vol. 30. – P. 640–645.

7. Expression of cyclooxygenase-2 in dysplasia of the stomach and in intestinal-type gastric adenocarcinoma / K. Saukkonen [et al.] // Clin. Cancer Res. – 2001. – Vol. 7. – P. 1923–1931.

8. High prevalence of cyclooxygenase-2 expression in papillary thyroid carcinoma / Ch.-Y. Lo [et al.] // Eur. J. Cancer. – 2005. – Vol. 152. – P. 545–550.

9. Hothorn T. Maxstat: maximally selected rank statistics. R package version 0.7-22 [Электронный ресурс]. – 2015. – Режим доступа: <http://CRAN.R-project.org/package=maxstat>.

10. Regulation of microtubule stability and mitotic progression by surviving / A. Giordini [et al.] // Cancer Res. – 2002. – Vol. 62. – P. 2462–2467.

11. Standardized determination of real-time PCR efficiency from a single reaction set-up / A. Tichopad [et al.] // Nucleic Acids Res. – 2003. – Vol. 31, № 20. – e 122. DOI: 10.1093/nar/gng122.

12. Therneau, T. A package for survival analysis in S_version 2.38 [Электронный ресурс]. – 2015. – Режим доступа: <http://CRAN.R-project.org/package=survival>.

Поступила 18.10.2016 г.